水平二方向変形と繰返し変形を考慮した鉛プラグ挿入型積層ゴムの解析手法

小槻 祥江 北村 佳久 内山 学 福喜多 輝 磯田 和彦

(技術研究所)

(設計本部)

(技術研究所)

(技術研究所)

(技術研究所)

An Analytical Model for Lead Rubber Bearings under Bi-directional and Multi-cyclic Deformation

Sachie Kotsuki, Yoshihisa Kitamura, Manabu Uchiyama, Akira Fukukita and Kazuhiko Isoda

本研究は、減衰機能を持つ免震装置のひとつである鉛プラグ挿入型積層ゴム(LRB)を対象に、長周期長時間地震動を受ける免震建物の応答評価に有効な解析モデルの構築を目的とする。提案モデルは、水平二方向変形、大変形、繰返し変形といった過酷な応力状態の挙動を評価可能である。本論文では、解析モデルの構成を示し、LRB 試験体の水平二方向繰返し加力実験結果と提案モデルによる解析結果との比較からモデルの妥当性を確認する。続いて、提案モデルを用いた地震応答解析結果から、水平二方向変形と繰返しによる特性変動が免震建物応答に与える影響を考察する。

In this study, an analytical model is developed for the lead rubber bearing (LRB), a type of seismic isolation device with a damping function. The proposed model is able to analyze the behavior of LRBs under severe stress conditions, including bi-directional, large, or multi-cyclic deformations, making it useful for the response analysis of seismically isolated buildings during long-period, long-duration earthquakes. The constitution of the proposed model is described and its validity confirmed by comparing model outputs with the results of horizontal bi-directional loading tests on LRBs. Seismic response analysis is also conducted to examine the influence of bi-directional and repetitive LRB deformation on the behavior of seismically isolated buildings.

1. はじめに

海溝型の巨大地震によって生じる長周期長時間 地震動は、免震建物に長時間にわたり振幅の大き い揺れをもたらす。この時免震部材は、繰返し変 形と大きな入力エネルギーという過酷な状態を強 いられる。このような過酷な状態下での免震建物 の安全性を検証するため、免震部材に対する大変 形の繰返し加力による性能検証や、繰返し変形に 起因する特性変動の把握、その特性変動の設計へ の反映方法の検討が行われている¹⁾。

本研究は、減衰機能を持つ免震部材のひとつであり、繰返し変形時の特性変動が比較的大きい鉛プラグ挿入型積層ゴムを対象に、水平二方向変形、大変形、繰返し変形といった過酷な応力状態においても復元力特性を適切に評価できる解析モデルの構築を目的とする。著者らは文献²⁾において、鉛プラグ挿入型積層ゴムの復元力を、主に天然ゴムによる弾性成分と、鉛プラグによる減衰成分に

分離して、その発現方向を考慮したベクトル和として評価することで水平二方向変形時の荷重変形関係を模擬できることを確認している。本論では、繰返し変形による鉛プラグの発熱に起因する特性変動を考慮し、長周期長時間地震動を受ける免震建物の応答評価に有用な解析モデルを構築する。

免震建物の地震応答解析において、減衰機能を 有する免震部材の繰返し変形による特性変動を考 慮する手法として、現在は簡易法と詳細法として 二つの手法が提案されている。簡易法は、繰返し 依存性を考慮しない地震応答解析結果から算出 れる履歴吸収エネルギー量をもとに、解析開始時 から免震部材の特性値を一定値に低減させて解析 を行う3。簡易法は繰返しの影響による免震層の 応答変位の増大を評価することを主な目的に用い られている。詳細法は、鉛プラグ挿入型積層ゴム を対象に提案されており、時刻歴応答解析と熱伝 導解析を併用する手法である40-60。詳細法は、履 歴エネルギーから鉛プラグ部に発生する熱を算出 して熱伝導解析を行いながら、鉛部の温度によって鉛プラグの降伏荷重を時々刻々と変動させて時刻歴応答解析を行う。繰返しの影響による時々刻々の特性変動を評価できるため、詳細な建物応答を把握するのに有効である。

本研究で構築する解析モデルは、繰返し変形による鉛プラグ挿入型積層ゴムの特性変動を時々刻々と評価する形で導入することで、詳細法と同等に建物応答を評価できるモデルとする。一方で、履歴吸収エネルギーによる鉛プラグ温度の変化とそれによる特性変化を、実験結果から定めた評価式を用いた簡易評価とすることで、従来の時刻歴応答解析への組み込みが容易で、設計業務においても扱いやすい解析モデルとする。また、提案する解析モデルを用いて1質点モデルの地震応答解析を行い、繰返しによる特性変化の考慮・非考慮による応答の違い、および水平一方向単独入力と水平二方向同時入力の応答差異について考察する。

2. 水平二方向と繰返し変形を考慮した解析モデル

2.1 水平二方向モデル

本論では、文献ので示す水平二方向モデルに繰返し変形による特性変動を取り入れる。水平二方向モデルにおいて、鉛プラグ挿入型積層ゴム(以下、LRB)に作用する復元カベクトル F は、弾性成分ベクトル F_{c} と、減衰成分ベクトル F_{d} に分離される。

$$\mathbf{F} = \mathbf{F}_{e} + \mathbf{F}_{d} \tag{1}$$

LRB の相対変位ベクトル δ は、そのX 方向成分を d_x 、Y 方向成分を d_y として、(2)式で表される。

$$\mathbf{\delta} = \left\{ d_{x}, d_{y} \right\}^{\mathrm{T}} \tag{2}$$

弾性成分ベクトル $\mathbf{F}_{\mathbf{e}}$ は、その絶対値が原点からの距離の関数となり、常に原点と現位置を結ぶ軸上に発現するベクトルである。よって、弾性成分ベクトルは絶対値を $Q_{\mathbf{e}}$ として、以下で表される。

$$\mathbf{F}_{\mathbf{e}} = Q_{\mathbf{e}} \cdot \mathbf{e}_{\mathbf{u}} \tag{3}$$

$$\mathbf{e}_{\mathbf{u}} = \begin{cases} e_{ux} \\ e_{uv} \end{cases} = \frac{\mathbf{\delta}}{|\mathbf{\delta}|} \tag{4}$$

LRB の減衰成分は主に鉛プラグによる減衰力であり、与えられた変形の速度方向逆向きに発現する力である。LRB の相対速度ベクトル \mathbf{v} は、その \mathbf{X} 方向成分を \mathbf{v}_x 、 \mathbf{Y} 方向成分を \mathbf{v}_y として、(5)式のように表される。

$$\mathbf{v} = \left\{ v_x, \ v_v \right\}^{\mathrm{T}} \tag{5}$$

よって、減衰成分ベクトル F_d は、その絶対値を O_d として、以下で表される。

$$\mathbf{F_d} = Q_d \cdot \mathbf{e_v} \tag{6}$$

$$\mathbf{e}_{\mathbf{v}} = \begin{cases} e_{vx} \\ e_{vy} \end{cases} = \frac{\mathbf{v}}{|\mathbf{v}|} \tag{7}$$

以上のように、弾性成分と減衰成分の発現方向を 考慮したベクトル和として、LRBの水平二方向変 形時の荷重変形関係を評価する。

2.2 弹性成分

LRB の弾性成分は、主に天然ゴムによる弾性復元力である。水平一方向の復元力特性としては、一定の変形領域までは線形特性であるが、大変形時にはハードニングを示す非線形特性となることが知られている。文献 η において天然ゴム系積層ゴムの水平一方向の荷重変形関係を模擬するモデルとして(8)式が提案されている。水平一方向の非線形弾性特性が、水平二方向変形時にも適用できると仮定し、弾性成分の絶対値 Q_e の式として(8)式を用いる.

$$Q_e = K_e \cdot \delta_m \left\{ (1 - p) \frac{|\mathbf{\delta}|}{\delta_m} + p \left(\frac{|\mathbf{\delta}|}{\delta_m} \right)^n \right\}$$
 (8)

ここで、 K_e は LRB の弾性剛性、 δ_m は最大経験変位、pはハードニングを規定するパラメータ、nは定数(n=8)である。弾性剛性 K_e とパラメータ pは、(9)式で表される LRB のせん断ひずみ γ の関数として評価する。

$$\gamma = \frac{|\mathbf{\delta}|}{h} \tag{9}$$

ここで、 h_r はゴム層の総厚である。本論では、(8) 式における LRB の弾性剛性 K_e として、LRB の現行の設計式 80 における降伏後剛性 K_d の式を適用する。せん断ひずみ依存性の修正係数 C_{Kd} を用いて、 K_d は以下のように表されている。

$$K_e = K_d = C_{Kd} \cdot K_{d0} \tag{10}$$

$$K_{d0} = \frac{G_r \cdot A_r}{h_r} + \frac{\alpha \cdot A_p}{h_r} \tag{11}$$

$$C_{Kd} = \begin{cases} 0.779 \cdot \gamma^{-0.43} & (\gamma < 0.25) \\ \gamma^{-0.25} & (0.25 \le \gamma < 1.0) \\ \gamma^{-0.12} & (1.0 \le \gamma < 2.0) \\ 0.103415(\gamma - 2.0)^2 + 0.92019 & (2.0 \le \gamma) \end{cases}$$
(12)

ここで、 G_r はゴムのせん断弾性係数、 A_r はゴム断面積、 α は鉛プラグの見かけのせん断弾性係数、 A_p は鉛プラグ断面積である。 C_{Kd} を算出する(12)

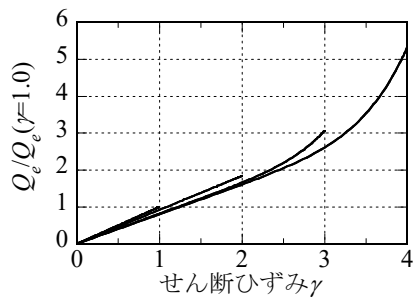


図-1 弾性成分 Q_e のせん断ひずみ-荷重関係

式において、 γ <2.0 の範囲は現行の設計式 8、 γ \geq 2.0 の範囲は大変形時のハードニングを考慮した改定式である。また、パラメータ p は(13)式で表される。

$$p = \begin{cases} 0 & (\gamma \le 2.0) \\ -0.40074 + 0.20037\gamma & (2.0 < \gamma) \end{cases}$$
 (13)

パラメータpはハードニングを規定し、ハードニングが生じないせん断ひずみ 2.0 以下では 0 とし、せん断ひずみが 2.0 を超えると値が大きくなり、徐々にハードニングが強くなる。図-1 に、(8)式で表される弾性成分のせん断ひずみ γ と荷重の関係を示す(γ =1.0, 2.0, 3.0, 4.0 の場合)。荷重は、 γ =1.0 の時を 1 として基準化している。 γ =2.0 までは弾性剛性 K_e による線形弾性特性、 γ >2.0 の範囲ではハードニング挙動を示す非線形弾性特性である。

2.3 減衰成分

LRB の降伏荷重はせん断ひずみ依存性を有し、設計式 8 では C 00 という修正係数で評価されている。また、履歴吸収エネルギーによる鉛プラグの発熱が降伏荷重の低下を引き起こすため、長周期長時間地震動のような入力エネルギーの大きな地震動に対する応答を検討するためには、この発熱に起因する降伏荷重の変動を考慮する必要がある。上記のような特性変動を減衰成分の絶対値 C 0 として、 C 0 を(14)式のように表す。

$$Q_d = C_{qd} \cdot C_{tp} \cdot C_V \cdot Q_{d0} \tag{14}$$

ここで、 C_{qd} はせん断ひずみ依存性の修正係数、 C_{tp} は鉛プラグ温度による修正係数、 C_{V} は速度による修正係数である。基準降伏荷重 Q_{d0} は、鉛の降伏せん断応力度 σ_{pb} (=8.33N/mm²)8 と鉛プラグ断面積 A_{p} から(15)式で算出する。

$$Q_{d0} = \sigma_{pb} \cdot A_p \tag{15}$$

せん断ひずみ依存性の修正係数 C_{qd} は、設計式 8 に示されている(16)式を適用する。

$$C_{qd} = \begin{cases} 2.036 \cdot \gamma^{0.41} & (\gamma \le 0.1) \\ 1.106 \cdot \gamma^{0.145} & (0.1 < \gamma < 0.5) \\ 1.0 & (0.5 \le \gamma) \end{cases}$$
 (16)

 C_{tp} 、 C_V は、本解析モデル特有の修正係数であり、以下に詳細を示す。

(1) 鉛プラグ温度による修正係数 C_{tp}

著者らは、直径 800mm、鉛径 160mm の LRB(LRB800)による水平一方向の繰返し加力実験 90 を実施し、その実験結果から鉛プラグの温度と降伏せん断応力度の関係を表す実験式を提案している 100 。この実験式を、鉛プラグ温度 T_{pb} による修正係数 C_{tp} として適用する。 C_{tp} は(17)式で表される。

$$C_{tp} = \begin{cases} 6.899 T_{pb}^{-0.4960} & (T_{pb} \le 100) \\ 1.146 e^{-0.00879 T_{pb}} + 0.2269 & (100 < T_{pb} < 327.5) & (17) \\ 0 & (327.5 \le T_{pb}) \end{cases}$$

図-2に、(17)式で表される鉛プラグ温度と C_w の 関係を示す。図-2中には、LRB800の水平一方 向繰返し加振実験結果 9から抽出した鉛プラグ温 度と C_{tp} の関係も合わせて示す。ここでの鉛プラグ 温度は、鉛プラグの高さ方向の中央位置(3章の図 **-5** における Pb1、Pb2、Pb3 に一致する位置)で ある。実験結果の C_{tp} は荷重変形関係から抽出した 降伏荷重 Q_d を基準降伏荷重 Q_{d0} で除して求めてい る。実験結果の C_{tp} は、鉛プラグの温度上昇ととも に低下しているのが確認できる。ただし、加振振 幅が小さいほど同じ温度での Cp が小さいという ようにばらつきが見られる。(17)式は、実験結果 の下限をおおよそトレースするように作成した。 また、鉛の融点である 327.5[°]C以上では C_{tp} をゼロ としている。設計式8における鉛プラグの基準降 伏応力度 σ_{bb} =8.33N/mm²は基準温度 15℃におけ る値として定められているが、これは15℃を初期 温度として実施する基本性能試験の3サイクル目

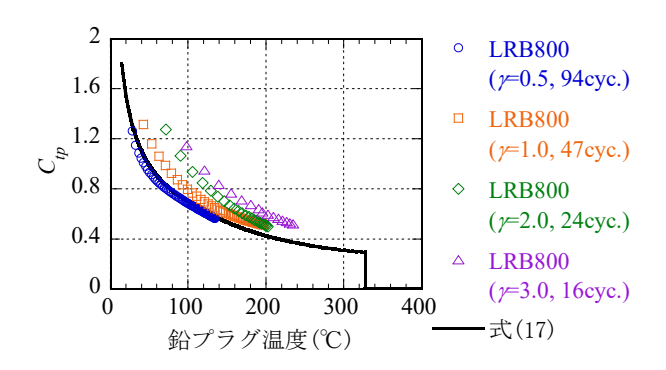


図-2 鉛プラグ温度と C_p の関係

の値である。加振 3 サイクル目には鉛プラグの温度は既に初期温度よりも上昇していることから、 (17)式は T_{pb} =15 $^{\circ}$ Cでは C_{tp} =1.8 となり、約 50 $^{\circ}$ Cで C_{tp} =1.0 となる式としている。

$$\Delta E_{get} = \frac{1}{2} \{ (_{n-1}F_x +_n F_x) \cdot \Delta d_x + (_{n-1}F_y +_n F_y) \cdot \Delta d_y \}$$
 (18)

 Δt 秒間の損失エネルギー ΔE_{loss} は、実験時の加振終了後の温度低下を基に提案する算定式 10 によって求める。 $\mathbf{Z} - \mathbf{3}$ に、 $\mathbf{LRB800}$ の加振終了後の鉛プラグの温度低下を示す。グラフは加振終了時の温度によって時間をシフトして示しており、加振終了後の温度低下は、各ケースともほぼ一致した低下傾向を示している。経過時間を $t(\sec)$ として、 $\mathbf{Z} - \mathbf{3}$ の温度低下傾向を(19)式により回帰する。

$$T_{pb} = \begin{cases} 500e^{-0.0046t} + 31.130 & (T_{pb} \ge 32) \\ -0.004t + 37.525 & (T_{pb} < 32) \end{cases}$$
 (19)

図-3中に、(19)式で表される回帰式を示す。ただし、本解析モデルは外気温を 15^{\circ} $^{\circ}$ と仮定し、 T_{pb} の下限値を 15^{\circ} $^{\circ}$ </sup>と設定する。(19)式を用いて、解析時の時間刻み Δt 秒間の損失エネルギー ΔE_{loss} を (20)式で算出する。

$$\Delta E_{loss} = \begin{cases} C_{pb} (T_{pb} - 31.13)(1 - e^{-0.0046\Delta t}) & (T_{pb} \ge 32) \\ C_{pb} 0.004\Delta t & (T_{pb} < 32) \end{cases}$$
(20)

ここで、 C_{pb} は鉛の熱容量である。(20)式は、LRB800 の実験結果を基に作成した実験式である。 文献 11 において、縮尺試験体での熱伝導方程式は 縮尺率の二乗が時間縮尺に比例し、この相似則を 考慮して加振条件をそろえた実験において、実大 試験体と縮尺試験体がおおよそ一致した特性を示している。よって、(20)式を他サイズの LRB へ適用する場合、寸法の縮尺率の二乗が時間の縮尺に 比例するとした相似則を適用し、寸法の縮尺率の二乗としてゴム断面積の値を用いて(21)式のように縮尺した時間刻み Δt を用いる。

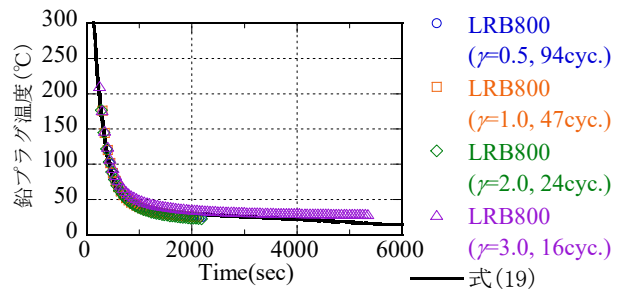


図-3 加振終了後の鉛プラグの温度低下

$$\Delta t = \Delta t_{org} \cdot \frac{A_{r800}}{A_{r}} \tag{21}$$

ここで、 Δt_{org} は元の時間刻み、 A_{r800} は LRB800 の ゴム断面積、 A_r は解析対象の LRB のゴム断面積 である。(22)式のように、履歴吸収エネルギー ΔE_{get} と損失エネルギー ΔE_{loss} の差として有効エネルギー ΔE_{eff} を算出し、 ΔE_{eff} による温度増分を前ステップ温度 $_{n-1}T_{pb}$ に足して、現ステップの鉛プラグ温度 $_{n}T_{pb}$ を求める。この $_{n}T_{pb}$ を用いて(17)式から C_{tp} を算出する。

$$\Delta E_{eff} = \Delta E_{get} - \Delta E_{loss} \tag{22}$$

$$_{n}T_{pb} = _{n-1}T_{pb} + \frac{\Delta E_{eff}}{C_{pb}}$$
 (23)

(2) 速度による修正係数 C_V

LRB は実験結果より、降伏荷重の速度依存性が小さいことが明らかにされ、静的な実験結果に基づく履歴特性のモデル化の妥当性が示されている120。しかし、本解析モデルの減衰成分ベクトルは、速度ベクトルでベクトルの方向を定めるため、速度方向の反転等、速度ベクトルの急激な方向変化により、減衰成分ベクトルの値に急変が生じて解析的に不安定となる。よって、製品検査等における基本性能試験が行われる速度(1.5cm/s 程度)よりもさらに小さい速度範囲で速度依存性を適用することで、解析の安定性を確保する。3章に示す直径500mmのLRB試験体の加振実験における基本性能試験の3ループ目のループから、速度とその時の減衰成分の力を抽出し、それを基準降伏荷

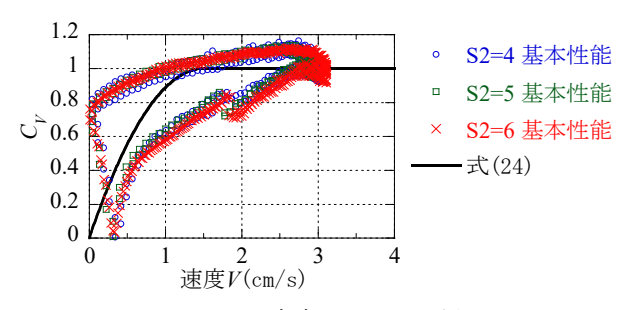


図-4 速度と C_V の関係

重 Q_{d0} で除した値を速度の修正係数 C_V として適用する。 $\mathbf{Z} - \mathbf{4}$ に、実験結果から求めた速度と C_V の関係を示す。実験結果は、載荷方向と除荷方向で異なる値を示しているが、両者の中間程度を近似する式を作成し、これを速度の修正係数として用いる。速度を $V(\mathbf{cm/s})$ として、 C_V は $(\mathbf{Z} \mathbf{4})$ 式とする。

$$C_V = \begin{cases} -\frac{(V - 1.5)^2}{2.25} + 1.0 & (V \le 1.5) \\ 1.0 & (V > 1.5) \end{cases}$$
 (24)

3. 実験結果と解析結果の比較

3.1 水平二方向繰返し加力実験概要

LRB の水平二方向・繰返し変形時の復元力特性 把握を目的に、直径 500mm、鉛径 100mm の LRB 試験体による水平二方向繰返し加力実験を実施し た。この実験については、文献 2),13)にて報告して いる。試験体は二次形状係数(S2=ゴム直径/ゴム層 厚)が 4、5、6の LRB が各 1 体ずつの計 3 体であ る。一次形状係数(S1=受圧面積/自由表面積)は3 体とも同じである。表-1に試験体の諸元を示す。 計測項目は、水平荷重・変位、鉛直荷重・変位、 および試験体各部の温度である。図-5に、試験 体の温度計測点を示す。鉛プラグ温度の計測点と して、プラグ頂部および高さ方向の中央部に熱電 対を設置した。しかし、高さ方向中央部(Pb1、Pb2、 Pb3)については、水平二方向加力時に熱電対の抜 け出しや断線が生じ、安定した温度計測が実施で きなかった。加力実施においては、前ケースの加 力で上昇した鉛温度が、鉛頂部(図-5中 PbTop) で 25℃以下に低下してから次の加力を実施する よう鉛温度を管理した。実験時の周辺気温は11~ 18℃であった。表-2に、本論で解析結果との比 較に用いる加力ケースを示す。加力ケースは一定 面圧下での正弦波による繰返し水平加力である。 水平二方向の加力パターンとして、楕円(単軸:長 軸=1:2)、真円(単軸:長軸=1:1)、8の字(単軸: 長軸=1:2)加力を設定し、各ケースで連続20サ イクルの繰返し加力を実施した。ただし、S2=4試験体の楕円 2 は 18 サイクル、8 の字は 17 サイ クルまでの加力となっている。楕円多数のケース は試験機の最大能力までの連続加力として、X方 向 100mm、Y 方向 50mm の楕円で連続 62 サイク ルの繰返し加力を実施した。図-6に、楕円、真 円、8の字の最大変位で基準化した変位オービッ ト図を示す。

表-1 LRB 試験体諸元

試験体	ゴム 直径 (mm)	鉛プラグ 直径 (mm)	ゴム層総厚	S1	S2
S2=4	500	100	3.0mm×40 =120mm	41.7	4
S2=5	500	100	3.0mm×33 =99mm	41.7	5
S2=6	500	100	3.0mm×28 =84mm	41.7	6

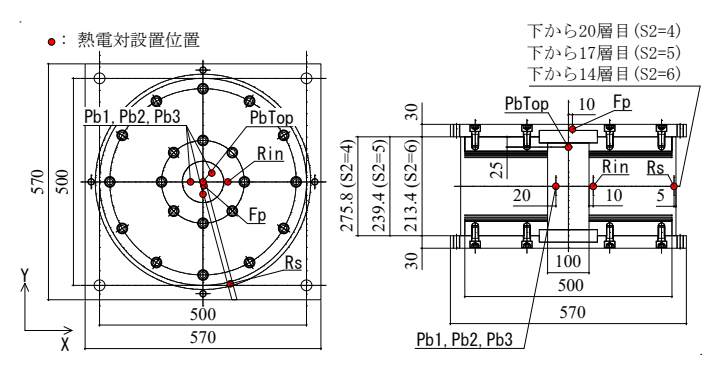


図-5 LRB 試験体の温度計測点

表-2 加力ケース

加力 ケース	加力方向 と せん断ひずみ (%)	加力 周期 (sec)	繰返し サイクル 数	試験体
基本 性能	X100	準静的	4	S2=4 S2=5 S2=6
1 方向	X200	4.0	20	S2=5 S2=6
楕円 2	X200 Y100	4.0 4.0	20	S2=4 S2=5 S2=6
楕円3	X250 Y125	4.0 4.0	20	S2=6
真円 2	X100 Y100	4.0 4.0	20	S2=4 S2=5 S2=6
真円 3	X150 Y150	4.0 4.0	20	S2=6
8 の字	X100 Y50	4.0 2.0	20	S2=4 S2=5 S2=6
楕円多数	X100mm Y50mm	4.0 4.0	62	S2=4 S2=6

※面圧: S2=4 は 10N/mm²、S2=5 と S2=6 は 15N/mm²

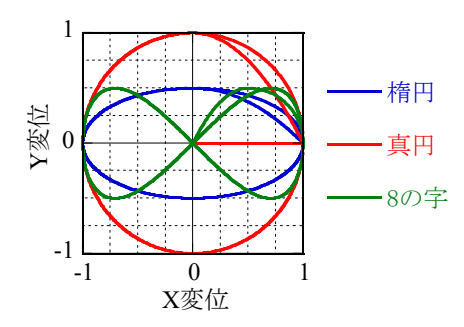


図-6 加力パターンの変位オービット

3.2 実験結果と解析結果の比較

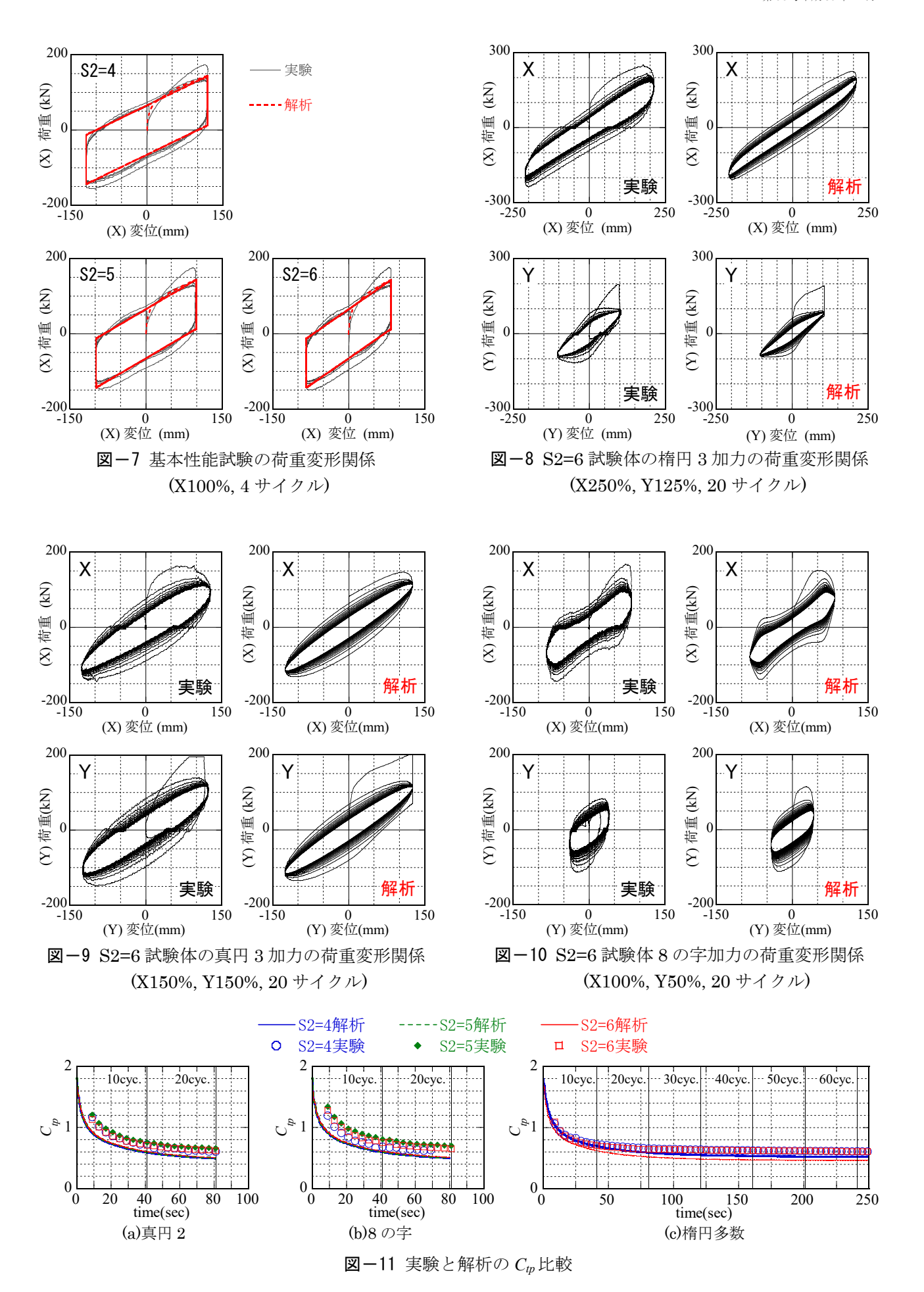
弾性剛性 K_e (=降伏後剛性 K_d)の基準値 K_{d0} は、ゴムおよび鉛のせん断弾性係数と断面積から、(11)式によって算出する。設計式 8 における基準値、 G_r =0.392N/mm 2 、 α =0.588N/mm 2 を用いると、弾性剛性の値は、S2=4 試験体で 0.65kN/mm、S2=5 試験体で 0.79kN/mm、S2=6 試験体で 0.93kN/mmである。減衰成分の絶対値の基準値 Q_{d0} は、鉛の基準降伏応力度 8.33N/mm 2 と鉛の断面積から、S2=4、S2=5、S2=6 試験体とも 65.4kN である。図-7に、基本性能試験の実験結果と解析結果を比較して示す。解析結果は、鉛温度による降伏荷重の低下を無視した(C_p =1.0 で一定)基準値による荷重変形関係であり、実験結果の 3ループ目の履歴ループとよく一致しており、本試験体は設計値通りの基本性能を有していることが確認できる。

図-8~図-10 に、S2=6 試験体の実験結果と解 析結果の荷重変形関係を比較して例示する。解析 結果は、鉛温度による降伏荷重の低下を考慮した 解析結果である。本論で用いる実験結果は、加力 開始時温度を25℃以下に管理しているため、解析 では鉛の初期温度の影響を無視して、全て初期温 度 15℃(周辺温度と同一)と仮定して解析を実施す る。図-8はS2=6試験体の楕円3加力(X250%, Y125%, 20 サイクル)、図-9 は S2=6 試験体の真 円 3 加力(X150%, Y150%, 20 サイクル)、図-10 はS2=6試験体の8の字加力(X100%, Y50%, 20 サイクル)の実験と解析の荷重変形関係の比較で ある。図-8に示す楕円加力の実験結果の履歴ル ープは、X方向は楕円形に近いループ形状を示し、 Y方向はひし形の履歴ループ形状を示している。 図-9 に示す真円加力の実験結果の履歴ループは、 XY 方向とも同様の紡錘形の履歴ループ形状を示 している。図-10に示す8の字加力の実験結果の 履歴ループは、X方向は荷重切片でループが細く なる形状を示し、Y方向は荷重の正側と負側の値 が一致しない非対称のループ形状を示している。 図-8~図-10のように、水平二方向加力による 実験結果の履歴ループは、加力パターンの違いに よって各々異なる形状を示す。これは減衰成分べ クトルが速度方向に発現するベクトルであるため、 加力時の発現方向の変化によって、X、Y方向へ の寄与率が変化するためである。さらに、各々の 履歴ループは繰返し加力によってしだいにループ が細くなっている。これは、繰り返し変形によっ て生じる鉛プラグの発熱に起因する降伏荷重の低 下である。

図-8~図-10 に示す提案モデルによる解析結果の荷重変形関係は、楕円、真円、8の字と水平二方向の異なる加力パターンによって生じる上記のような特徴的な履歴ループ形状と、繰返し加力によってしだいにループ形状が細くなっていく状態を再現できている。このことから、提案モデルがLRBの水平二方向変形と、繰返し変形によって鉛プラグに生じる特性変化を同時に考慮可能であることが確認できる。

図-11 に、鉛プラグ温度による修正係数 C_{to} に ついて、実験結果から抽出した値と解析結果の値 を比較して示す。加力ケースとして、真円2、8 の字、楕円多数のケースを比較する。実験結果の Cwは、実験結果の履歴ループから求められる降伏 荷重を、基準降伏荷重で除した値として求める。 X成分、Y成分の履歴ループから各々正側と負側 の切片荷重(変位ゼロ時の荷重)を抽出し、その平 均値をX成分、Y成分の各々の切片荷重値とする。 ただし、1ループ目においては正側で正しく切片 荷重を抽出できないため、1ループ目の値は除外 する。楕円加力、真円加力の場合は、X成分とY 成分の切片荷重の平均値を履歴ループの降伏荷重 とする。8の字加力の場合は、X成分の変位ゼロ 時には速度ベクトルが 45 度方向となり、Y 成分で は変位ゼロ時の速度ベクトルは45度または90度 となるため、X成分の切片荷重の√2倍を履歴ル ープの降伏荷重とする。

図-11 の実験結果の C_{tp} において、加力パター ンごとに見ると試験体の二次形状係数に関わらず ほぼ同様の低下傾向を示している。本研究で用い た三体の試験体は、鉛プラグ断面積が等しいため 基準降伏荷重が等しい。よって、同ケースの加力 における吸収エネルギーの差は、変位オービット の軌跡長さの差である。各ケースはせん断ひずみ でそろえているので、変位オービットの軌跡長さ の比は、ゴム層厚の比となる。ゴム層厚が最も小 さい S2=6 試験体を基準とすると、三体の試験体 のゴム層厚比は S2=4: S2=5: S2=6 が 1.43: 1.19: 1.00 である。三体の試験体の熱容量の比は、S2=6 を基準とすると、S2=4:S2=5:S2=6が1.34: 1.14:1.00である。鉛高さ比がゴム層厚比と同じ でないため、全く同じ比率にはならないが、ゴム 層厚比とほぼ同様の比率である。このため、三体 の試験体の C_{tp} の低下傾向がほぼ同じであるのは 妥当な結果である。解析結果の Cmは、実験結果よ りも大きな低下幅を示しているが、その低下傾向 は十分に追跡できている。図-11(c)に示す楕円



75

多数の結果では、実験結果の C_p は、最初の 10 サイクル程度で大きく値が低下した後、0.6 程度の値に収束してそれ以上の低下が見られない。解析結果においても同様の傾向を再現しており、0.5 程度の値に収束した後は C_p が大きく低下しない。

以上より、本解析モデルは LRB500 試験体の水平二方向繰返し加力実験の結果に対し、繰返し変形による鉛プラグ温度の上昇によって降伏荷重が時々刻々と変化する傾向を十分に追跡できている。繰返しによる降伏荷重低下をやや過大評価する傾向があるが、これは免震層の応答変位の増大に対しては安全側の評価となり、設計業務において十分に使用できる解析モデルである。

4. 提案モデルを用いた免震建物の時刻歴応答解析

繰返しによる鉛プラグの降伏荷重低下が免震建 物の応答に与える影響を検討するため、上部構造を 剛体とした1質点モデルによる地震応答解析を実施 する。解析モデルは、RC 造 10 階建て程度の基礎免 震をイメージした建物モデルとする。 免震層は LRB のみで構成され、鉛の降伏せん断力係数 α =0.03 と α =0.04 の 2 種類のモデルを用いる。表 -3 に、建物 モデルの諸元を示す。入力地震動は、3~4秒に大き なエネルギーを持つ地震動として、名古屋三の丸地 区を対象とした予測波である三の丸波 14)、2003 年 十勝沖地震の北海道帯広における K-NET 観測波 (2003HKD095)、2011年東北地方太平洋沖地震の宮 城県古川における K-NET 観測波(2011MYG006)の 3波を用いる。表-4に入力地震動の諸元を、図-12 に入力地震動の擬似速度応答スペクトルを示す。 図-12より、三の丸波と 2003HKD095 は3秒付近 にピークが見られ、2011MYG006 のピークは $1\sim2$ 秒だが2秒以上の周期帯においてもエネルギーを維 持している。入力は水平二方向同時入力で建物モデ ルの X 方向に EW 成分、Y 方向に NS 成分を入力す る。LRBの解析モデルは2章に示すモデルとし、鉛 プラグの繰返しによる降伏荷重低下を考慮するケー スと、考慮しないケースでその応答値を比較する。 また、地震動の EW 成分と NS 成分を一方向ずつ単 独で入力するケースも実施し、二方向同時入力のケ ースと結果を比較する。

図-13 に、加速度と免震層変位について、降伏荷 重低下を考慮した応答値の、非考慮の応答値に対す る比率を示す。免震層変位については、降伏荷重低 下を考慮することで基本的には増大する傾向であり、 最大で非考慮の応答変位に対し約2倍になっている。

表-3 建物モデル諸元

モデル名	α=0.03	α=0.04
上部構造重量(kN)	46000	46000
ゴム直径	700	700
(鉛プラグ直径)(mm)	(130)	(150)
ゴム層総厚 (mm)	198	198
ゴムのせん断弾性係数 (N/mm²)	0.390	0.390
積層ゴム面圧(N/mm²)	10.3	10.4
LRB 基数	12	12
γ=1.0 の等価周期 (sec)	3.41	3.19
γ=2.0 の等価周期 (sec)	3.95	3.77
鉛プラグの降伏せん断力係数 (α)	0.03	0.04

表-4 入力地震動概要

入力地震動		最大加速度	継続時間		
		(m/sec)	(sec)		
三の丸波	EW	1.859	327.68		
	NS	1.658	327.68		
2003HKD095	EW	1.926	299.00		
	NS	1.515	299.00		
2011MYG006	EW	5.715	300.00		
	NS	4.441	300.00		

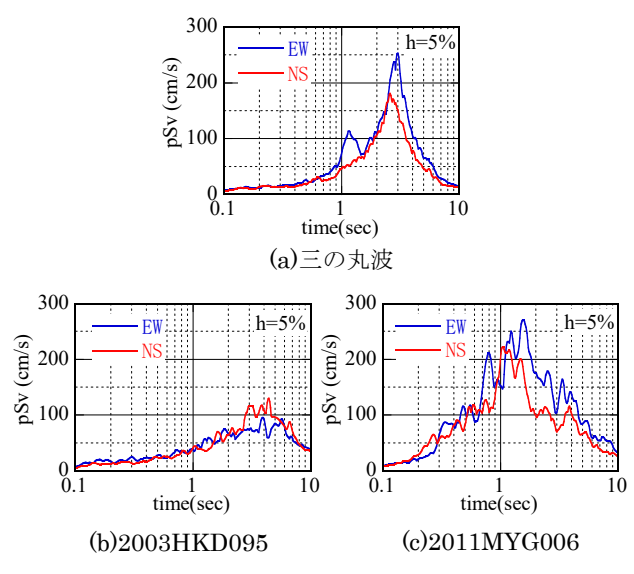


図-12 入力地震動の擬似速度応答スペクトル

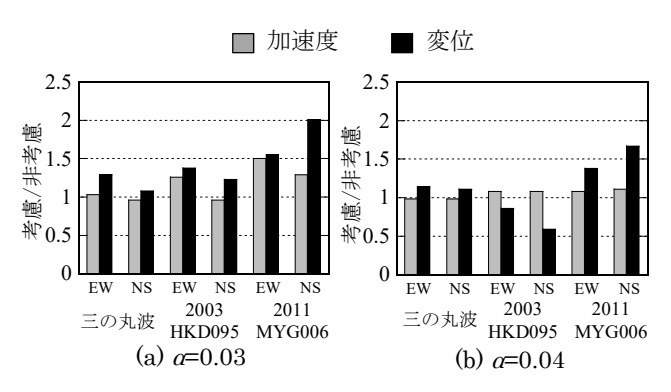


図-13 繰返しによる特性変化を考慮した最大 応答値の非考慮の最大応答値に対する比

鉛量が少ない α = 0.03 モデルの方が繰返しの影響に よる変位の増大比率が大きい。 $\alpha=0.04$ モデルの 2003HKD095 入力のケースについては、繰返しの 影響を考慮したケースの方が免震層変位は小さい。 これは、提案モデルにより降伏荷重低下を考慮する 場合、解析開始時の降伏荷重が考慮しない場合より も大きいため、鉛プラグの温度上昇が小さく降伏荷 重の低下が小さい場合は、非考慮の場合よりも変位 が抑制されるためである。加速度については考慮と 非考慮で顕著な差は見られない。 $\alpha=0.03$ モデルの 2011MYG006 入力のケースのみ EW 成分で加速度 が 1.5 倍と大きく増大している。これは免震層変位 が 637mm とせん断ひずみで 300%を超える大変形 となり、ハードニングが生じているためである。た だし、本論は1質点モデルでの検討であるため、加 速度については上部構造を考慮した多質点モデルで も影響を検討する必要がある。

図-14 に、 α =0.04 モデルの免震層変位と鉛プラ グ温度の時刻歴を示す。免震層変位は、三の丸波, 2003HKD095 入力のケースでは EW 成分、 2011MYG006 入力のケースでは NS 成分を示して いる。三の丸波、2011MYG006入力のケースでは、 鉛プラグ温度が 100℃を超えるあたりから繰返し考 慮のケースの変位が非考慮のケースに比べて増大し、 この変位が増大している時間に最大応答変位が生じ ている。2003HKD095入力のケースでは、鉛プラ グの温度がほとんど上昇していない 40 秒あたりで 非考慮のケースにおける最大応答変位が生じており、 この時繰返し考慮のケースでは降伏荷重が非考慮の ケースよりも大きいために変位が抑制されている。 その後も鉛温度は50℃程度までしか上昇しておら ず、繰返し考慮と非考慮で同等の変位を示している。 続いて、水平二方向同時入力と一方向単独入力の 応答値を比較する。図-15 に、 α =0.03 モデルにお ける水平二方向同時入力と一方向単独入力の場合の 免震層の荷重変形関係を比較して示す。三の丸波、 2003HKD095 入力のケースでは EW 成分、 2011MYG006 入力のケースでは NS 成分の荷重変

形関係を示している。各荷重変形関係は、繰返し考慮と非考慮の結果を重ねて示している。水平二方向同時入力のケースでは、どの入力地震動においても繰返し考慮の方が降伏荷重の低下によって変位が増大している。水平一方向単独入力のケースでは、2011MYG006入力のケースでは、繰返し考慮により変位が増加しているが、三の丸波では非考慮と同

り変位が増加しているが、三の丸波では非考慮と同程度、2003HKD095では繰返し考慮の方が変位は小さい。鉛の温度上昇には直交方向の入力も寄与す

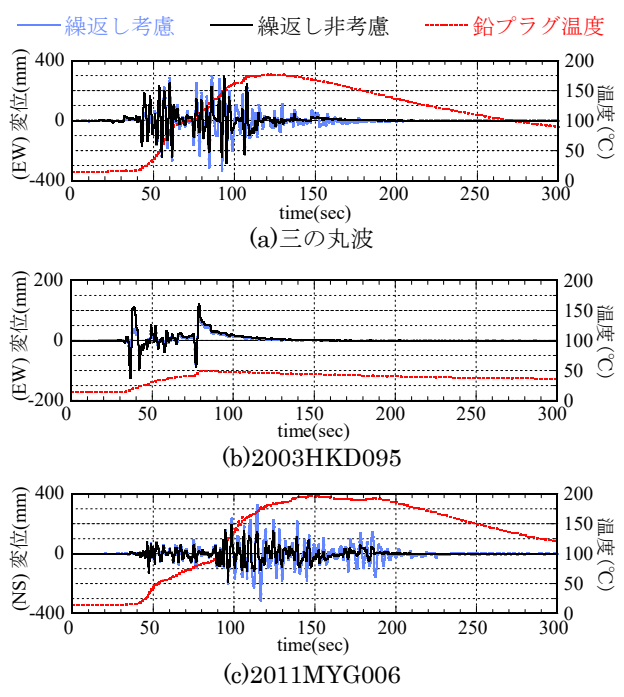


図-14 変位と鉛プラグ温度の時刻歴(α =0.04)

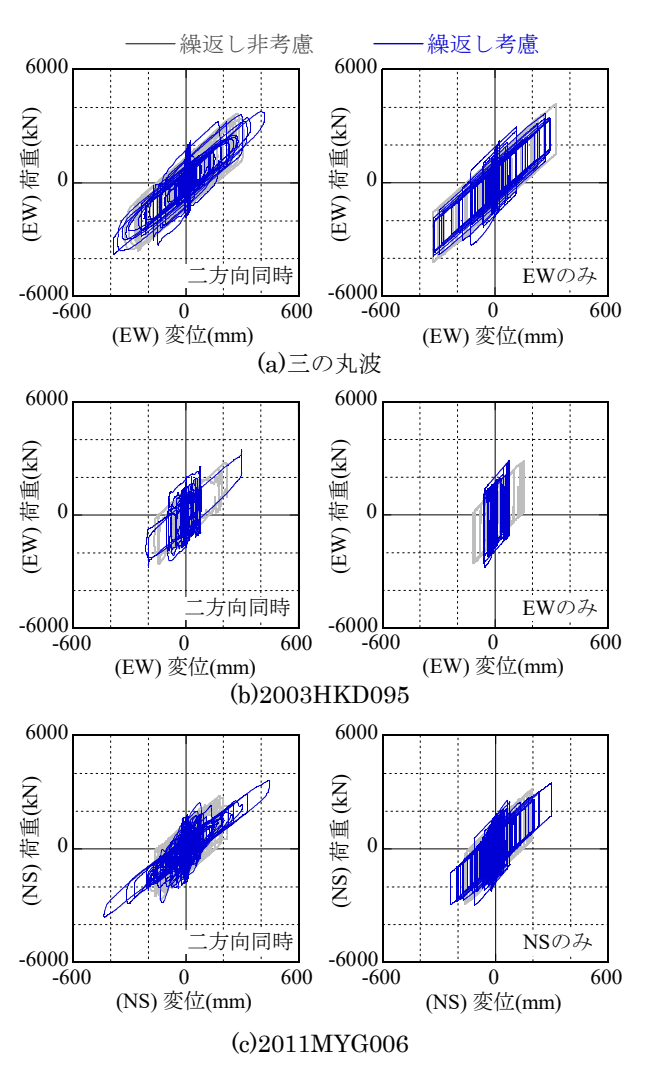


図-15 免震層の荷重変形関係(*a*=0.03) 1方向入力と2方向同時入力の比較

るため、水平一方向単独入力では入力エネルギーの 評価が過小になっていると考えられる。

以上より、長周期長時間地震動のように入力エネルギーの大きい地震動を対象に免震建物の応答評価を行う場合には、免震部材の繰返しによる特性変化を考慮する必要がある。この時、水平一方向単独入力では免震層への入力エネルギーの直交方向からの寄与分が考慮されず、熱劣化特性を過小評価する可能性があるため、水平二方向同時入力によって検討を行うことが望ましい。

5. まとめ

本研究では、LRBを対象に長周期長時間地震動による免震建物の応答評価に有効な解析モデルの構築を目的として、水平二方向変形、大変形、繰返し変形による特性変動を考慮可能な解析モデルを提案した。提案モデルの妥当性を検証するため、直径500mm、鉛径100mmのLRB試験体による水平二方向繰返し加力実験のシミュレーション解析を実施し、提案モデルが水平二方向変形時の履歴ループ形状と繰返しによる鉛プラグの降伏荷重低下を再現可能であることを確認した。解析結果は実験結果に対し、降伏荷重の低下をやや過大に評価する傾向があるが、設計検討に十分に使用できるモデルである。

続いて、鉛プラグの繰返し特性が免震建物応答に 及ぼす影響を検討するため、提案モデルを用いた地 震応答解析を実施した。免震建物モデルは、上部構 造を剛体とみなした1質点モデルで、免震層はLRB のみで構成される。三種類の地震動について水平二 方向同時入力を実施し、繰返し特性を考慮した場合 としない場合の応答値を比較した。解析結果より、 繰返しを考慮することで免震層変位は増大する傾向 であり、繰返し非考慮の結果に対して最大で約2.0 倍の増大が見られた。応答加速度は、繰返し考慮と 非考慮でほぼ同等であったが、免震層変位が増大し 強いハードニングが生じるひずみ領域に入ると加速 度の増加が見られた。また、鉛プラグの特性変化に は直交方向の入力によるエネルギーも寄与するので、 水平一方向単独入力は、繰返しによる降伏荷重低下 を過小評価する可能性がある。以上より、入力エネ ルギーが大きく、免震部材の繰返しによる特性変動 が懸念される場合の免震建物応答評価には、繰返し による特性変動を考慮した水平二方向同時入力によ る検討が必要と考えられる。LRB に対しては、本研 究で提案するモデルは有効な解析手法の一つとなる。

謝辞

本研究では、防災科学技術研究所の K-NET 強震 記録を用いました。ここに記して感謝致します。

<参考文献>

- 1) 長島一郎, 日比野浩, 高岡栄治, 近藤明洋, 猿田正明, 半澤 徹也, 嶺脇重雄, 曽根孝行, 飯場正紀: 長周期地震動に対す る減衰材の安全性能検証方法に関する検討, ビルディングレ ター, 第587号, pp.2-13, 2014.11.
- 2) 小槻祥江,北村佳久,福喜多輝,磯田和彦:鉛プラグ入り積層ゴムの水平二方向変形時の特性に関する基礎的検討,日本建築学会構造系論文集,第79巻第695号,pp.57-66,2014.1.
- 3) 飯場正紀,長島一郎,日比野浩,竹中康雄,近藤明洋,中西 啓二,猿田正明,山本雅史,嶺脇重雄,小豆畑達哉,井上波 彦:免震部材の多数回繰返し特性と免震建築物の地震応答性 状への影響に関する研究,国立研究開発法人建築研究所建 築研究資料,No.170号,2016.4.
- 4) 本間友規, 竹中康雄, 近藤明洋, 高岡栄治, 引田真規子, 北村春幸, 仲村崇仁: 大振幅繰返し変形を受ける積層ゴム支承の熱・力学連成挙動に関する研究(その9 熱伝導解析による実験結果のシミュレーション), 日本建築学会大会学術講演梗概集, pp.397-398, 2008.9.
- 5) 近藤明洋,竹中康雄,高岡栄治,引田真規子,北村春幸,宮崎充:大振幅繰返し変形を受ける積層ゴム支承の熱・力学連成挙動に関する研究(その10鉛入り積層ゴムにおける鉛温度~降伏応力関係の提案),日本建築学会大会学術講演梗概集,pp.399-400,2008.9.
- 6) 竹中康雄,近藤明洋,北村春幸,本間友規:大振幅繰返し変形を受ける積層ゴム支承の熱・力学連成挙動に関する研究(その11 LRB の温度上昇を考慮した地震応答解析),日本建築学会大会学術講演梗概集,pp.401-402,2008.9.
- 7) 西村拓也,山本祥江,黒澤到,菊地優,甲斐芳郎,仲村崇仁: 天然ゴム系積層ゴムの水平鉛直同時加力時の大変形挙動特性に関する研究,日本建築学会構造工学論文集,Vol.55B,pp.517-525,2009.3.
- 8) オイレス工業株式会社: LRB 技術資料, 2000.6.
- 9) 金子修平,西村拓也,山本祥江,仲村崇仁:多数回繰返し変形による特性変動を考慮した鉛プラグ入り積層ゴムの復元カモデルの構築 その 1:鉛プラグ入り積層ゴムの多数回繰返し加振実験,日本建築学会学術講演梗概集,pp.385-386,2012.9.
- 10) 北村佳久,山本祥江,西村拓也,福喜多輝:多数回繰返し変 形による特性変動を考慮した鉛プラグ入り積層ゴムの復元 カモデルの構築 その 2:繰返しによる特性変動を考慮した 復元カモデル,日本建築学会学術講演梗概集,pp.387-388, 2012.9
- 11) 竹中康雄,近藤明洋,高岡栄治,引田真規子,北村春幸,仲村崇仁:積層ゴムの熱・力学的連成挙動に関する実験的研究,日本建築学会構造系論文集,第74巻第646号,pp.2245-2253,2009.12.
- 12) 大鳥靖樹, 松田泰治, 石田勝彦: 鉛入り積層ゴムの力学特性 におよぼす載荷速度の影響について, 日本建築学会構造工学 論文集, Vol.40B, pp.167-175, 1994.3.
- 13) 金子修平, 山本祥江, 仲村崇仁, 長弘健太, 北村佳久, 福喜 多輝: 多数回繰返し変形による特性変動を考慮した鉛プラグ 入り積層ゴムの復元カモデルの構築 その 3: 水平 2 方向多 数回繰返し加振実験, 日本建築学会学術講演梗概集, pp.361-362, 2013.8.
- 14) 宮腰淳一,中田猛,福和伸夫,柴田明彦,白瀬陽一,斉藤賢二:名古屋市三の丸地区における耐震改修用の基盤地震動の作成,日本地震工学会大会 2004 梗概集,pp.394-395, 2005.